

VII. Data Compression (A)

◆ 壓縮的通則：

利用資料的一致性

資料越一致的資料，越能夠進行壓縮

[References]

- I. Bocharova, *Compression for Multimedia*, Cambridge, UK, Cambridge University Press, 2010.
- 酒井善則，吉田俊之原著，原島博監修，白執善編譯，“影像壓縮術”，全華印行, 2004.
- 戴顯權，“資料壓縮 Data Compression,” 旗標出版社, 2007.
- D. Salomon, *Introduction to Data Compression*, Springer, 3rd ed., New York, 2004.

◎ 7-A 壓縮的哲學：

(1) 利用資料的一致性，規則性，與可預測性

(exploit redundancies and predictability, find the compact or sparse representation)

(2) 通常而言，若可以用比較精簡的自然語言來描述一個東西，那麼也就越能夠對這個東西作壓縮

Q: 最古老的壓縮技術是什麼？

(3) 資料越一致，代表統計特性越集中

包括 Fourier transform domain, histogram, eigenvalue 等方面的集中度

Data type	Compression technique	Compression rate
Audio		
Image		
Video		

思考：如何對以下的資料作壓縮

Article:

Song:

Voice:

Cartoon:

Compression: Original signal → Compact representation + residual information

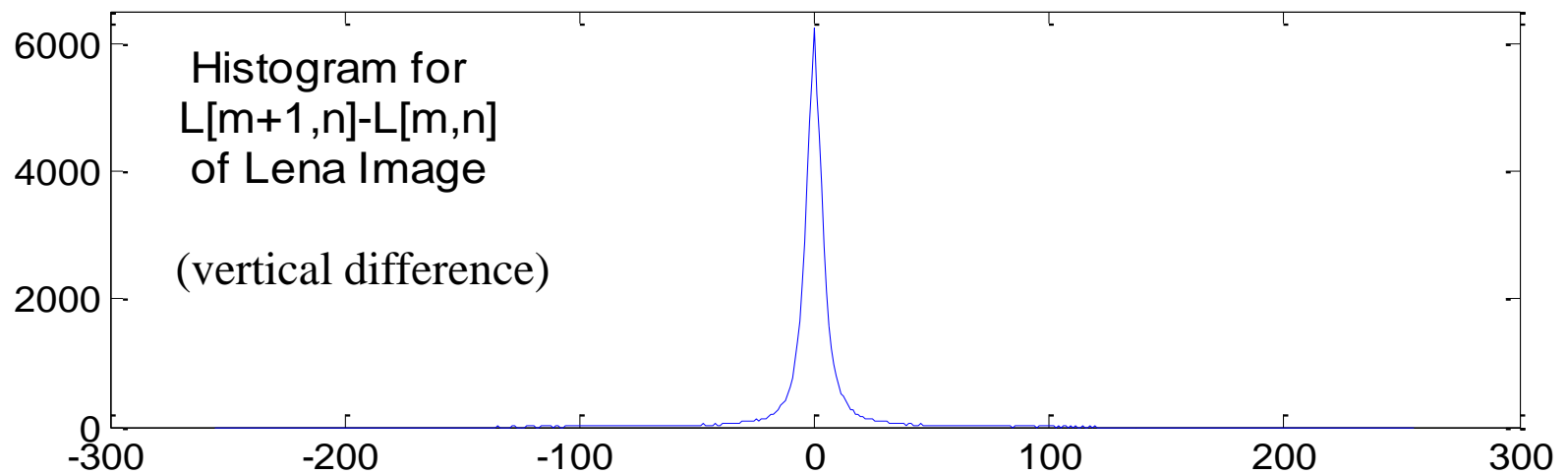
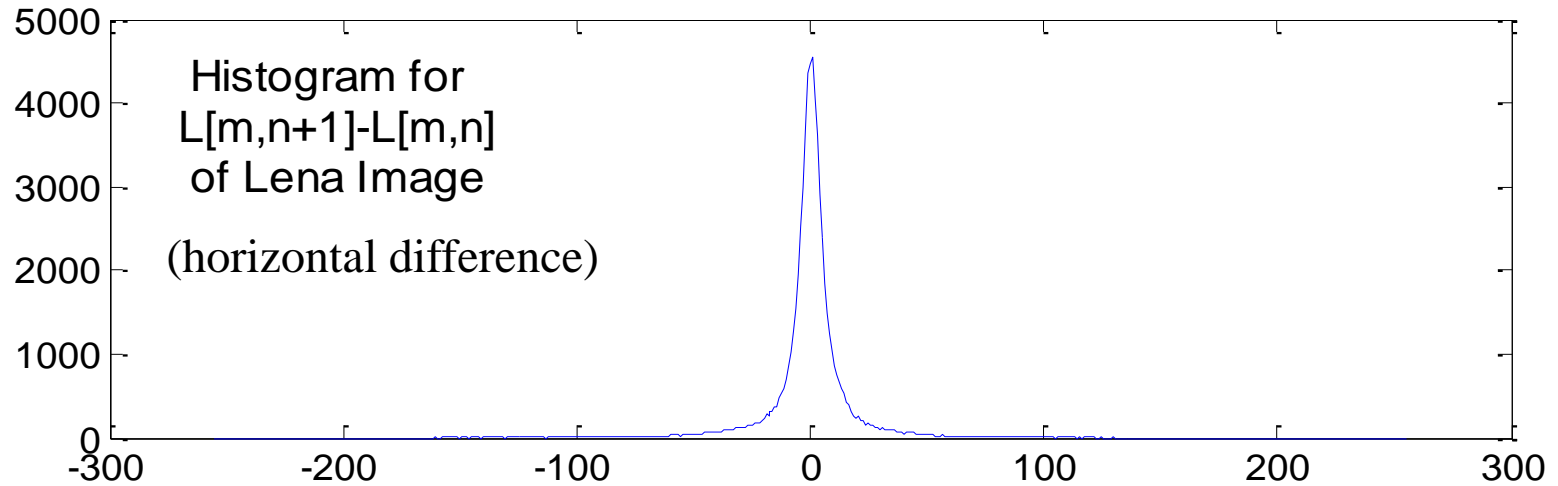
◎ 7-B Compression for Images

- 影像的「一致性」：

Space domain: 每一點的值，會和相鄰的點的值非常接近

$$F[m, n+1] \approx F[m, n], \quad F[m+1, n] \approx F[m, n]$$

Frequency domain: 大多集中在低頻的地方。



Histogram:

一個 vector 或一個 matrix 當中，有多少點會等於某一個值

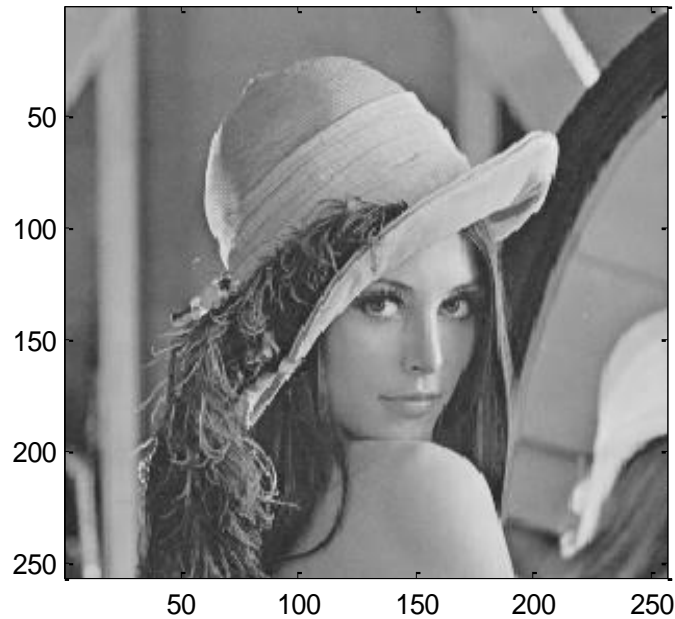
例如： $x[n] = [1\ 2\ 3\ 4\ 4\ 5\ 5\ 3\ 5\ 5\ 4]$

則 $x[n]$ 的 histogram 為

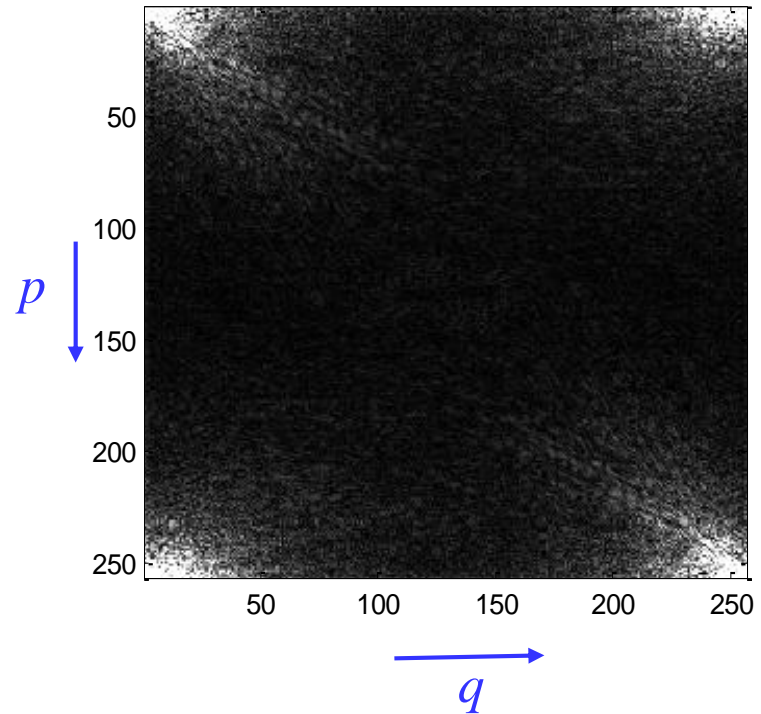
$$h[1] = 1, h[2] = 1, h[3] = 2, h[4] = 3, h[5] = 4$$

Lena Image 頻譜 (frequency domain) 的一致性

$L[m, n]$



$|\text{fft2}(L[m, n])|$ (用亮度來代表 amplitude)



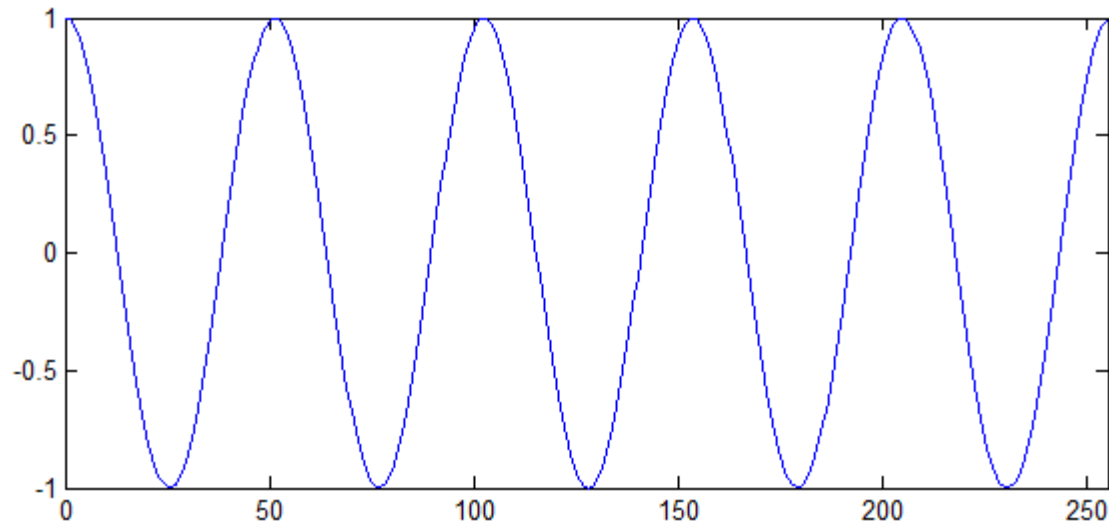
$$L_F[p, q] = \text{fft2}\{L[m, n]\} = \sum_{m=1}^M \sum_{n=1}^N L[m, n] e^{-j2\pi \frac{pm}{M}} e^{-j2\pi \frac{qn}{N}}$$

$$L[m, n] = \frac{1}{MN} \sum_{m=1}^M \sum_{n=1}^N L_F[p, q] e^{j2\pi \frac{pm}{M}} e^{j2\pi \frac{qn}{N}}$$

影像的「頻率」：frequency in the space domain

$e^{j2\pi\frac{pm}{M}}$ 從 $m = 0$ 至 $m = M-1$ 之間有 p 個週期

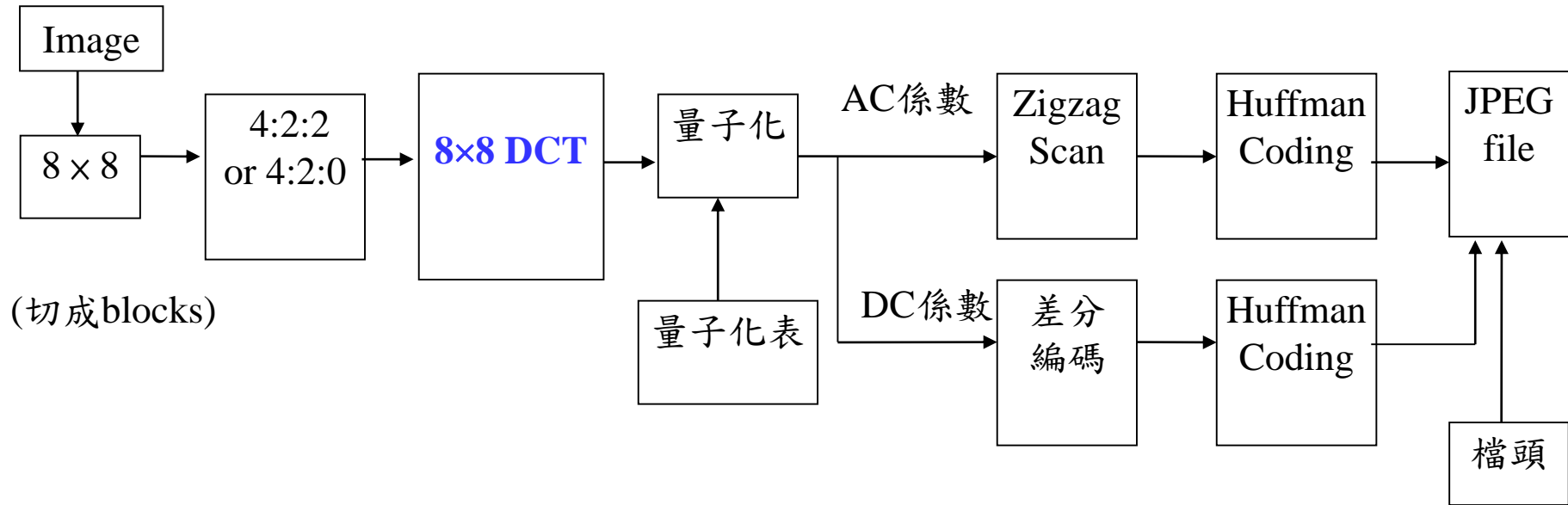
$p = 5$ $\text{Re}\{e^{j2\pi\frac{pm}{M}}\}$



larger p : more variation in the space domain

◎ 7.C JPEG Standard

Process of JPEG Image Compression



- 主要用到四個技術：
 - (1) 4:2:2 or 4:2:0 (和 space domain 的一致性相關)
 - (2) 8×8 DCT (和 frequency domain 的一致性相關)
 - (3) 差分編碼 (和 space domain 的一致性相關)
 - (4) Huffman coding (和 lossless 編碼技術相關)

JPEG：影像編碼的國際標準 全名：Joint Photographic Experts Group

JPEG 官方網站：<http://www.jpeg.org/>

參考論文：G. K. Wallace, “The JPEG still picture compression standard,” *IEEE Transactions on Consumer Electronics*, vol. 38, issue 1, pp. 18-34, 1992.

JPEG 的 FAQ 網站：<http://www.faqs.org/faqs/jpeg-faq/>

JPEG 的免費 C 語言程式碼：

<http://opensource.apple.com/source/WebCore/WebCore-1C25/platform/image-decoders/jpeg/>

一般的彩色影像，可以壓縮 12~20 倍。

簡單的影像甚至可以壓縮超過 20 倍。

- 壓縮的技術分成兩種

lossy compression techniques

無法完全重建原來的資料

Examples: DFT, DCT, KLT (with quantization and truncation),

4:2:2 or 4:2:0, polynomial approximation

壓縮率較高

lossless compression techniques

可以完全重建原來的資料

Examples: binary coding, Huffman coding, arithmetic coding,

Golomb coding

壓縮率較低

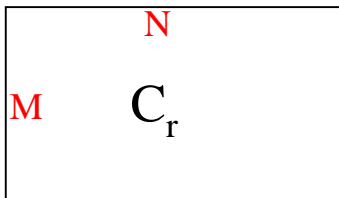
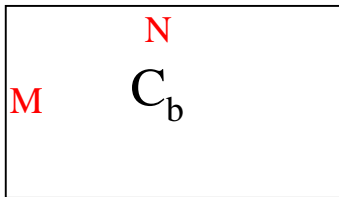
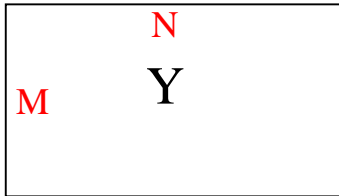
© 7-D 4:2:2 and 4:2:0

$$\begin{bmatrix} Y \\ C_b \\ C_r \end{bmatrix} = \begin{bmatrix} 0.299 & 0.587 & 0.114 \\ -0.169 & -0.331 & 0.500 \\ 0.500 & -0.419 & -0.081 \end{bmatrix} \begin{bmatrix} R \\ G \\ B \end{bmatrix}$$

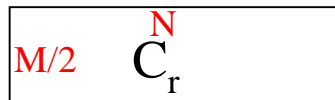
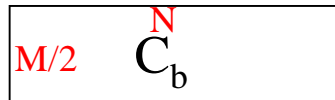
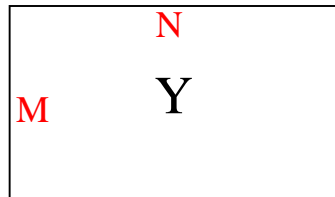
R : red, G : green, B : blue

Y : 亮度, C_b : $0.565(B-Y)$, C_r : $0.713(R-Y)$,

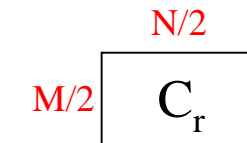
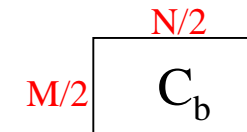
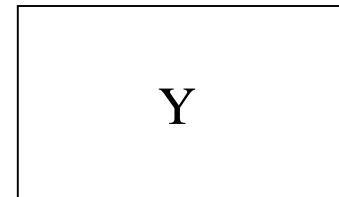
4 : 4 : 4



4 : 2 : 2



4 : 2 : 0

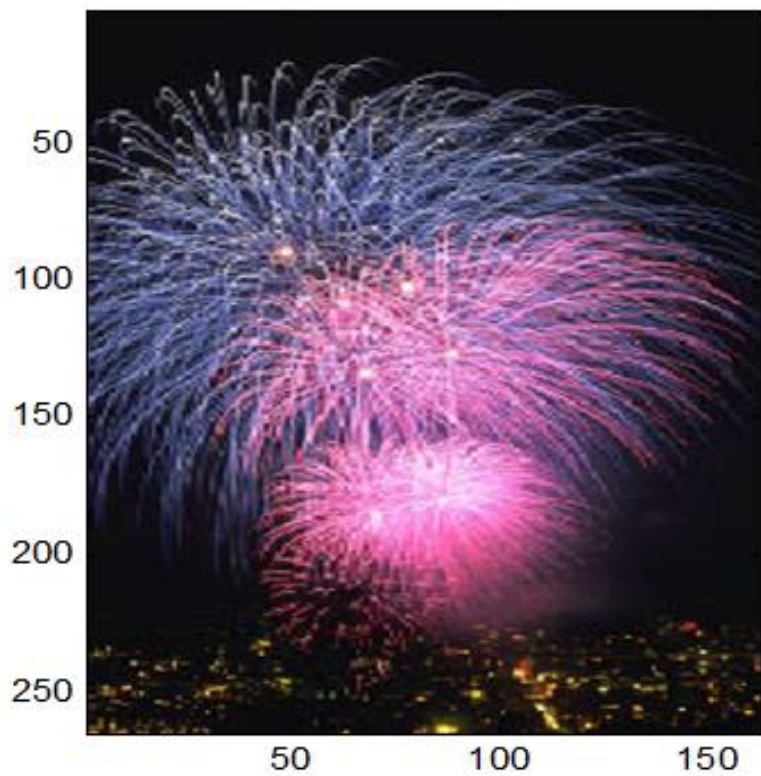


24 bits/pixel \rightarrow 16 bits/pixel \rightarrow 12 bits/pixel

同樣使資料量省一半的(b)(d)圖，(d)圖和原來差不多，
然而(b)圖邊緣會有失真現象。

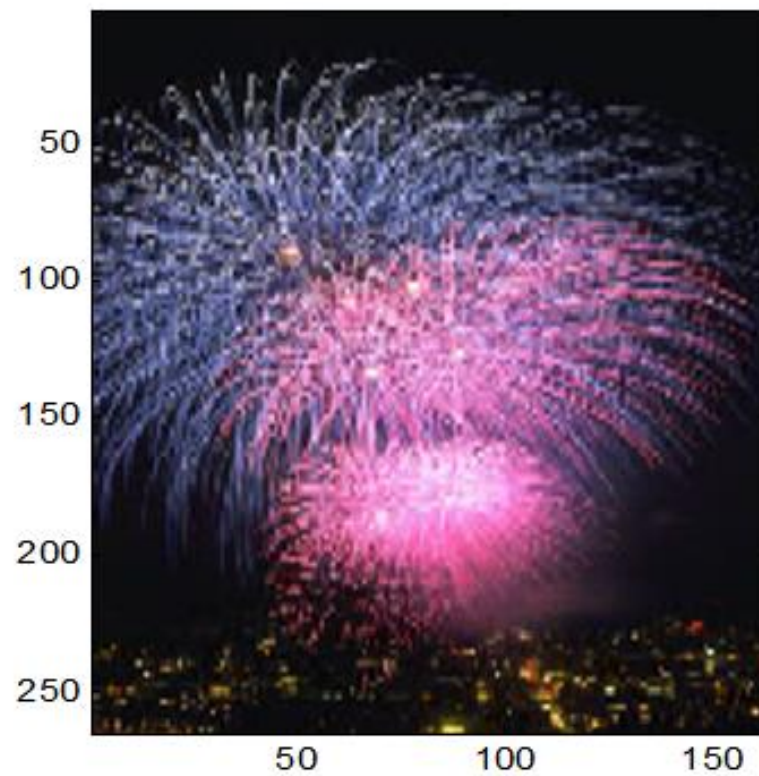
還原時，用 interpolation 的方式

原圖

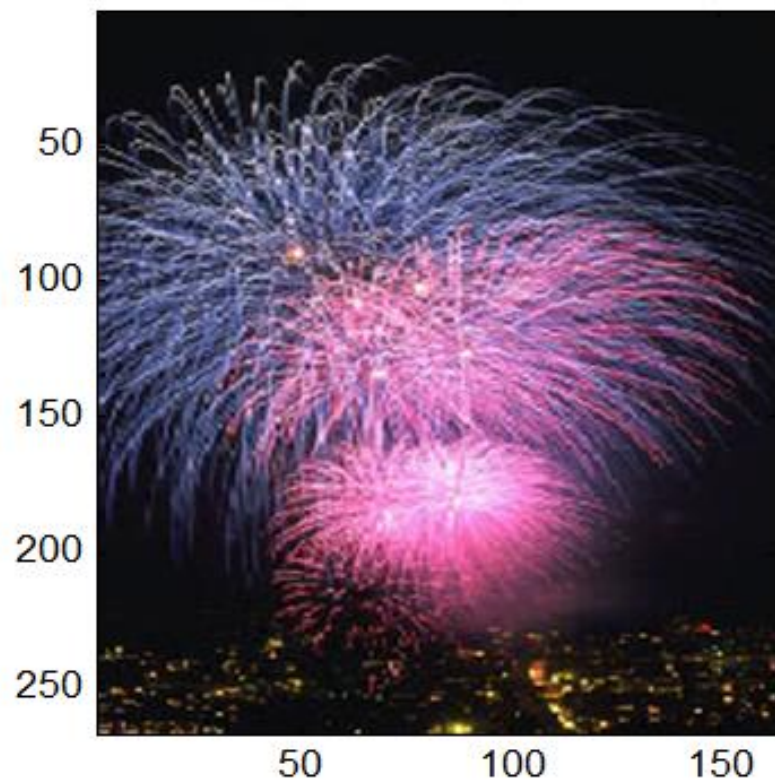


(a)

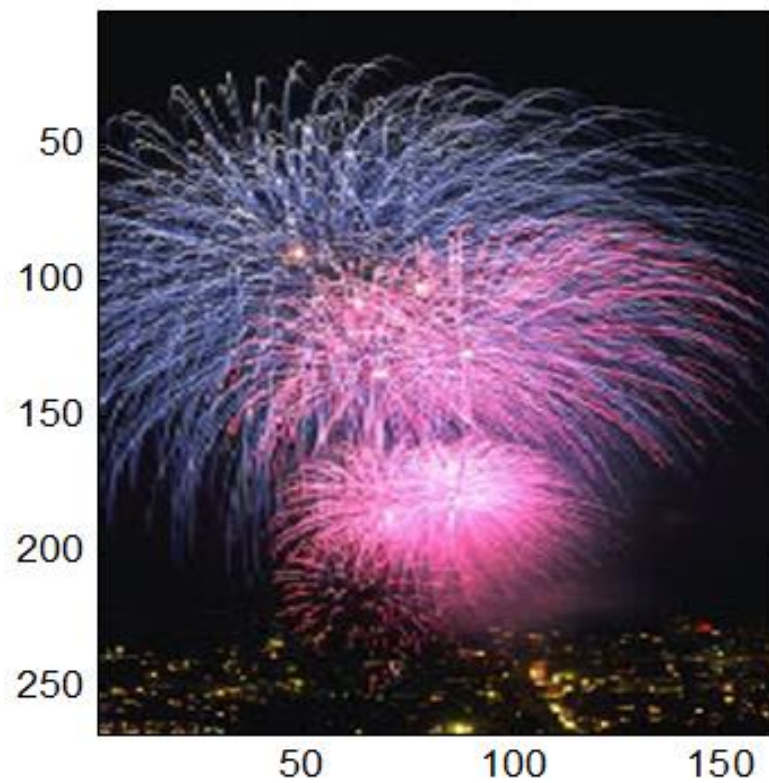
直接在縱軸取一半的pixels 再還原



(b)

4 : 2 : 2

(c)

4 : 2 : 0

(d)

◎ 7-E Lossy Compression Techniques -- KLT

複習：DFT 的優缺點

- **Karhunen-Loeve Transform (KLT)**
(similar to Principal component analysis (PCA))

It is optimal, but dependent on the input

經過轉換後，能夠將影像的能量分佈變得最為集中

分析影像的主要成分，第二主要成份，第三主要成份，.....

- 1-D Case
$$X[u] = \sum_{n=0}^{N-1} x[n] K[u, n]$$

$$K[u, n] = e_n[u] \quad (K = [e_0, e_1, e_2, \dots, e_{N-1}])$$

e_n 為 covariance matrix C 的 eigenvector

$$C[m, n] = \text{corr}(x[m], x[n]) = E[(x[m] - \overline{x[m]})(x[n] - \overline{x[n]})]$$

mean

Note: corr代表correlation

KLT 的理論基礎：

經過 KLT 之後，當 $u_1 \neq u_2$ 時， $X[u_1]$ 和 $X[u_2]$ 之間的 correlation 必需近於零 (即 decorrelation)

$$\text{即 } \text{corr}(X[u_1], X[u_2]) = E[(X[u_1] - \overline{X[u_1]})(X[u_2] - \overline{X[u_2]})] = 0$$

$$\text{所以 } E[X[u_1]X[u_2]] - \overline{X[u_1]} \overline{X[u_2]} = 0$$

$$\text{Since if } \overline{x[n]} = 0 \quad \overline{X[u]} = \sum_{n=0}^{N-1} \overline{x[n]} K[u, n] = 0 \quad \text{for all } u$$

The above equation can be simplified as:

$$E[X[u_1]X[u_2]] = 0$$

$$E[X[u_1]X[u_2]] = 0$$

Note that $E[X[u_1]X[u_2]]$ is the $(u_1, u_2)^{\text{th}}$ entry of $E\{\mathbf{X}\mathbf{X}^T\}$

$$\text{where } \mathbf{X} = [X[0], X[1], X[2], \dots, X[N-1]]^T$$

Since $\mathbf{X} = \mathbf{K}\mathbf{x}$ where $\mathbf{x} = [x[0], x[1], x[2], \dots, x[N-1]]^T$

\mathbf{K} is the KLT matrix

$$E\{\mathbf{X}\mathbf{X}^T\} = E\{\mathbf{K}\mathbf{x}\mathbf{x}^T\mathbf{K}^T\} = \mathbf{K}E\{\mathbf{x}\mathbf{x}^T\}\mathbf{K}^T = \mathbf{K}\mathbf{C}\mathbf{K}^T$$

where \mathbf{C} is the covariance matrix and

$$\text{corr}(x[m], x[n]) = E[(x[m] - \overline{x[m]})(x[n] - \overline{x[n]})] = E[x[m]x[n]]$$

To make $E[X[u_1]X[u_2]] = 0$ when $u_1 \neq u_2$

$E\{\mathbf{X}\mathbf{X}^T\}$ should be a diagonal matrix

Therefore, the KLT transform matrix \mathbf{K} should diagonalize \mathbf{C} .

That is, the columns of \mathbf{K} are the eigenvectors of \mathbf{C} .

- 2-D Case
$$X[u, v] = \sum_{m=0}^{M-1} \sum_{n=0}^{N-1} x[m, n] K[u, m] K[v, n]$$

KLT 缺點: dependent on image

(不實際，需要一併記錄 transform matrix)

Reference

W. D. Ray and R. M. Driver, "Further decomposition of the Karhunen-Loeve series representation of a stationary random process," *IEEE Trans. Inf. Theory*, vol. 16, no. 6, pp. 663-668, Nov. 1970.

◎ 7-F Lossy Compression Techniques -- DCT

• DCT: Discrete Cosine Transform

Suboptimal, but independent of the input

$$F[u, v] = \frac{2C[u]C[v]}{N} \sum_{m=0}^{M-1} \sum_{n=0}^{N-1} f[m, n] \cos \frac{(2m+1)u\pi}{2N} \cos \frac{(2n+1)v\pi}{2N}$$

$$C[0] = 1/\sqrt{2}, \quad C[u] = 1 \text{ for } u \neq 0$$

IDCT: inverse discrete cosine transform

$$f[m, n] = \frac{2}{N} \sum_{u=0}^{M-1} \sum_{v=0}^{N-1} F[u, v] C[u] C[v] \cos \frac{(2m+1)u\pi}{2N} \cos \frac{(2n+1)v\pi}{2N}$$

對於大部分的影像而言，DCT 能夠近似 KLT (near optimal)

尤其是當 $\text{corr}\{f[m, n], f[m+\tau, n+\eta]\} = \rho^{|\tau|} \rho^{|\eta|}$, $\rho \rightarrow 1$ 時

有 fast algorithm

Advantage: (1) independent of the input (2) near optimal (3) real output

DCT

$$F[u, v] = \frac{2C[u]C[v]}{N} \sum_{m=0}^{M-1} \sum_{n=0}^{N-1} f[m, n] \cos \frac{(2m+1)u\pi}{2N} \cos \frac{(2n+1)v\pi}{2N}$$

$$C[0] = 1/\sqrt{2} \quad , \quad C[u] = 1 \text{ for } u \neq 0$$

$[u, v] = [0, 0]$: DC term

$u \neq 0$ or $v \neq 0$: AC terms

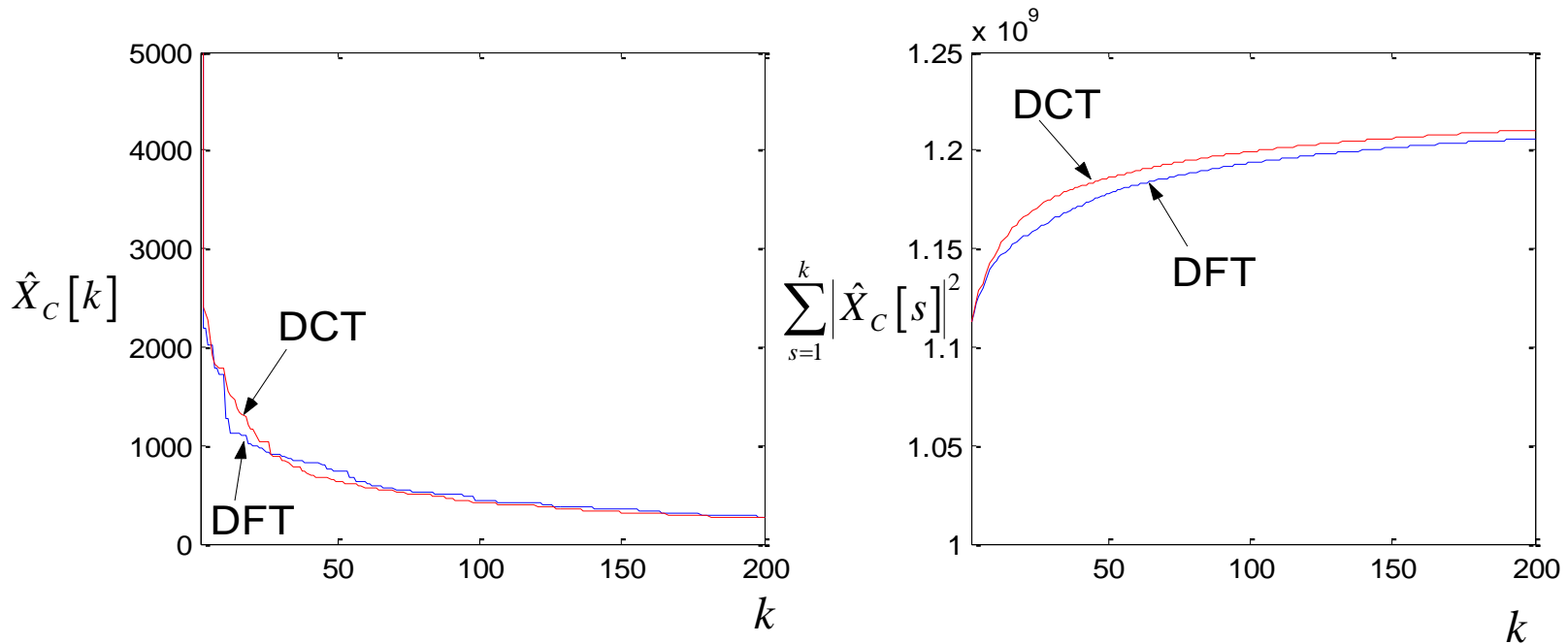
借用電路學的名詞

左圖：將 DFT，DCT 各點能量(開根號)由大到小排序

右圖：累積能量

DCT output

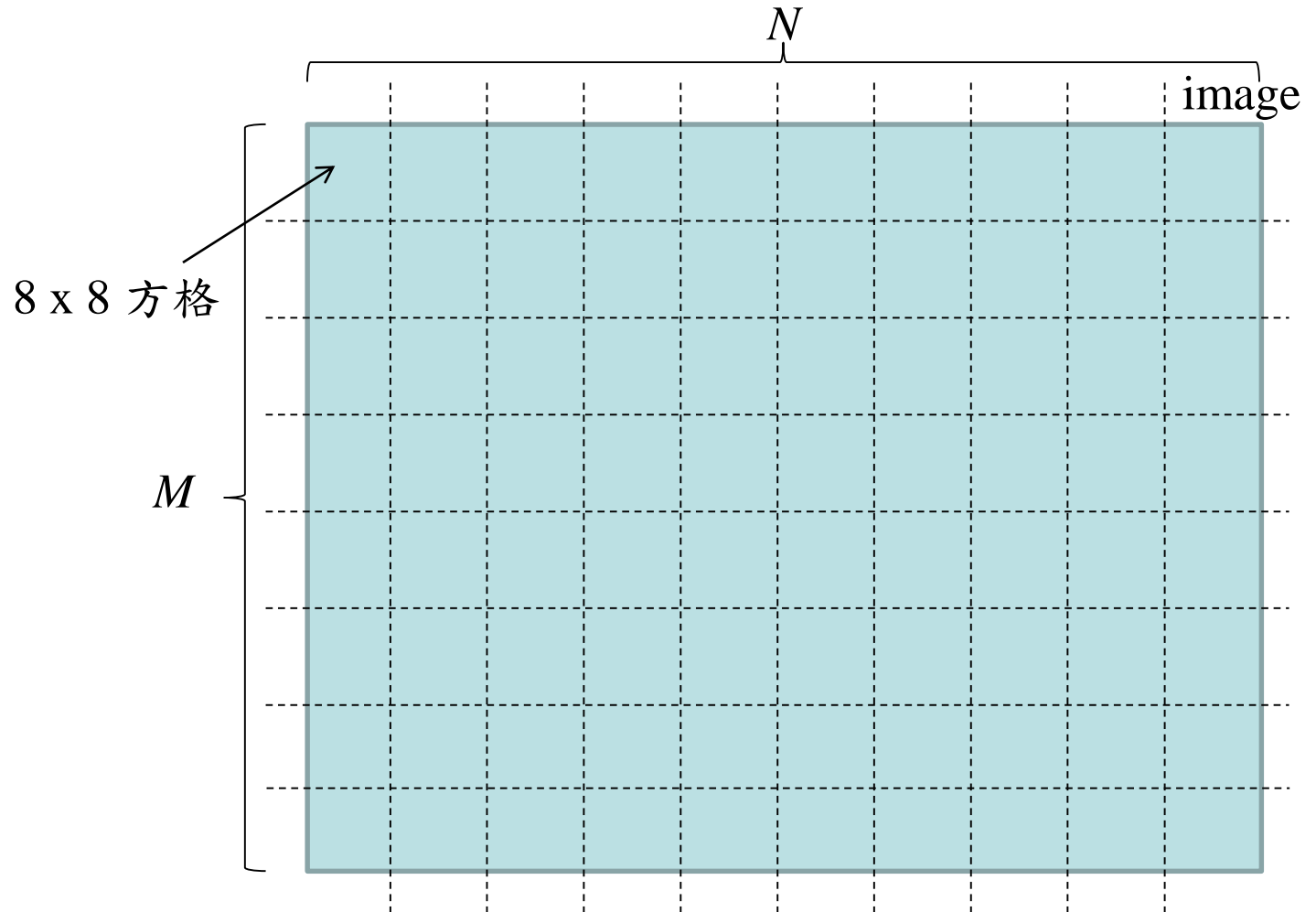
$$X_c[p, q] \xrightarrow{\text{sort}} \hat{X}_c[k] \quad \hat{X}_c[1] \geq \hat{X}_c[2] \geq \hat{X}_c[3] \geq \dots$$



Energy concentration at low frequencies: KLT > DCT > DFT

通常，我們將影像切成 8×8 的方格作DCT

Why:



References

- [1] N. Ahmed, T. Natarajan, and K. R. Rao, “Discrete cosine transform,” *IEEE Trans. Comput.*, vol. C-23, pp. 90-93, Jan 1974.
- [2] K. R. Rao and P. Yip, *Discrete Cosine Transform, Algorithms, Advantage, Applications*, New York: Academic, 1990.

VIII. Data Compression (B)

◎ 8-A Differential Coding for DC Terms, Zigzag for AC Terms

這兩者可視為 JPEG Huffman coding 的前置工作

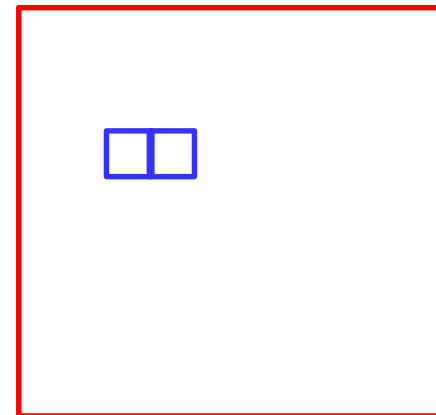
Differential Coding (差分編碼)

If the DC term of the $(i, j)^{\text{th}}$ block is denoted by $DC[i, j]$, then

encode $DC[i, j] - DC[i, j-1]$

Instead of $DC[i, j]$

(也是運用 space domain 上的一致性)



Zigzag scanning

將 2D 的 8x8 DCT outputs 變成 1D 的型態

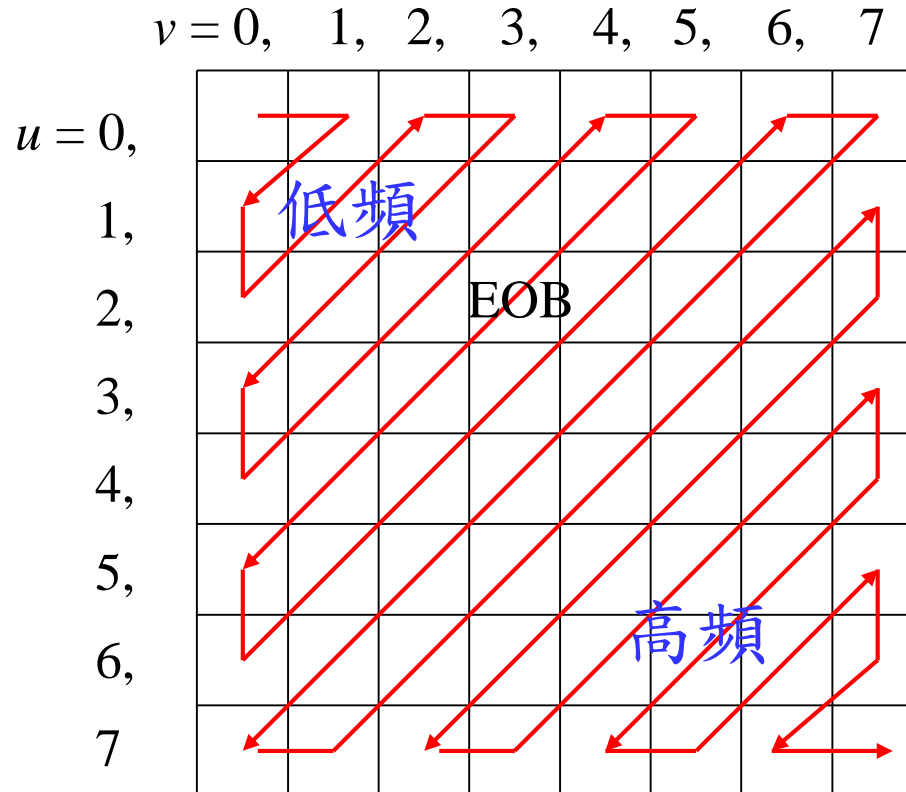
但按照“zigzag”的順序 (能量可能較大的在前面)

8x8 DCT output:

$C[u, v]$

$u = 0, 1, \dots, 7$

$v = 0, 1, \dots, 7$



EOB (end of block):

指後面的高頻的部分經過 quantization 之後皆為0

(也是運用 frequency domain 上的一致性)

© 8-B Lossless Coding

Lossless Coding: The original data can be perfectly recovered

Example:

direct coding method

Huffman coding

Arithmetic coding

Shannon–Fano Coding, Golomb coding, Lempel–Ziv,

◎ 8-C Lossless Coding: Huffman Coding

• Huffman Coding 的編碼原則: (Greedy Algorithm)

- (1) 所有的碼皆在 Coding Tree 的端點，再下去沒有分枝
(滿足一致解碼和瞬間解碼)
- (2) 機率越大的，code length 越短；機率越小的，code length 越長
- (3) 假設 S_a 是第 L 層的 node， S_b 是第 $L+1$ 層的 node
則 $P(S_a) \geq P(S_b)$ 必需滿足

不滿足以上的條件則交換

原始的編碼方式：

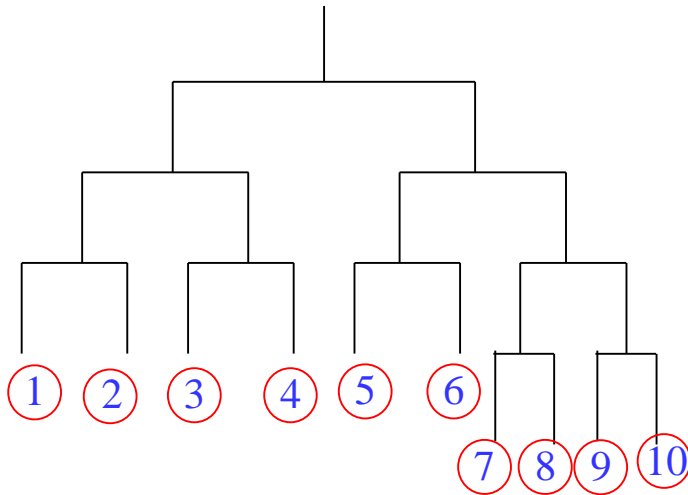
若 data 有 M 個可能的值，使用 k 進位的編碼，
則每一個可能的值使用 $\text{floor}(\log_k M)$ 或 $\text{ceil}(\log_k M)$ 個 bits 來編碼

floor: 無條件捨去

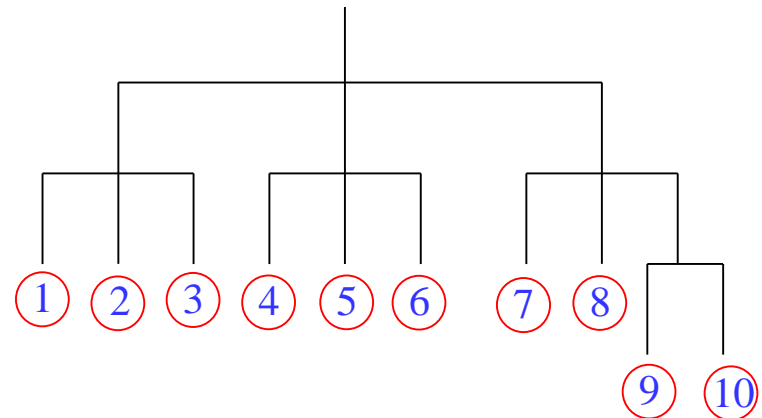
ceil: 無條件進位

Example:

若有 8 個可能的值，在 2 進位的情形下，需要 3 個 bits



若有 10 個可能的值，在 3 進位的情形下，需要 2 個或 3 個 bits



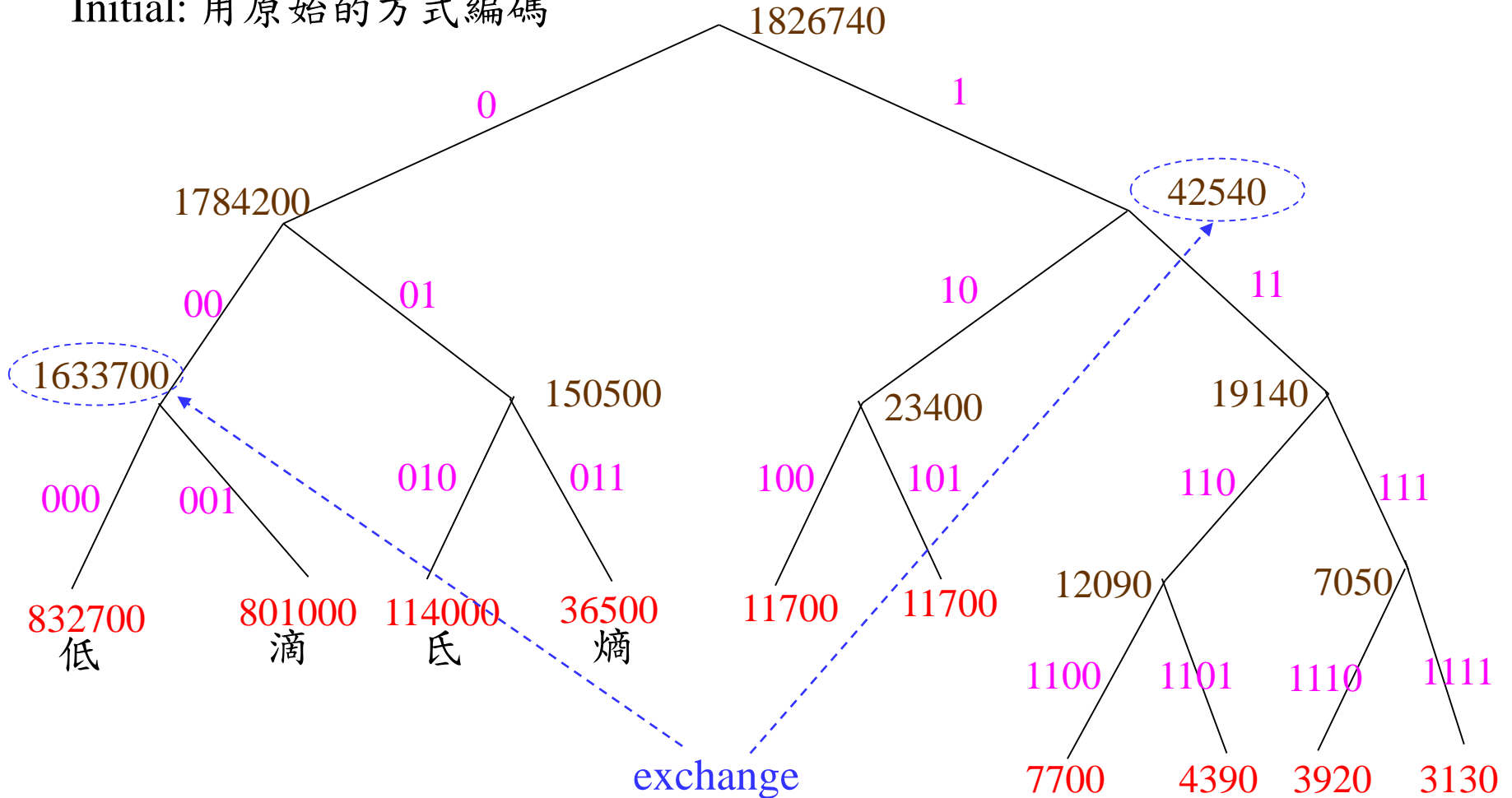
Example:

低	滴	氐	羝	鞞
832700	801000	114000	7700	4390
磳	祗	蒟	塢	熵
3920	11700	11700	3130	36500

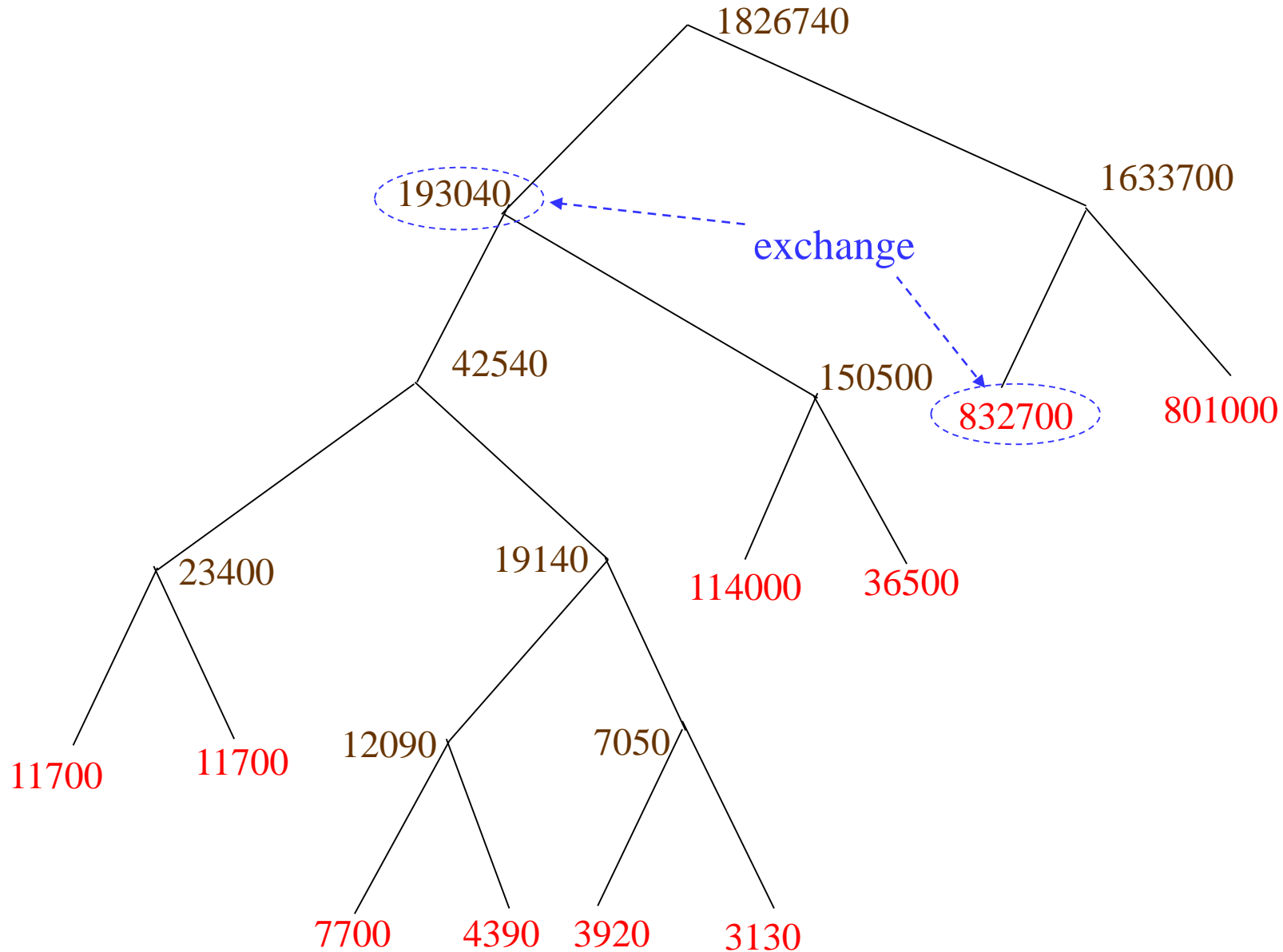
他們 2進位 的 Huffman Code 該如何編

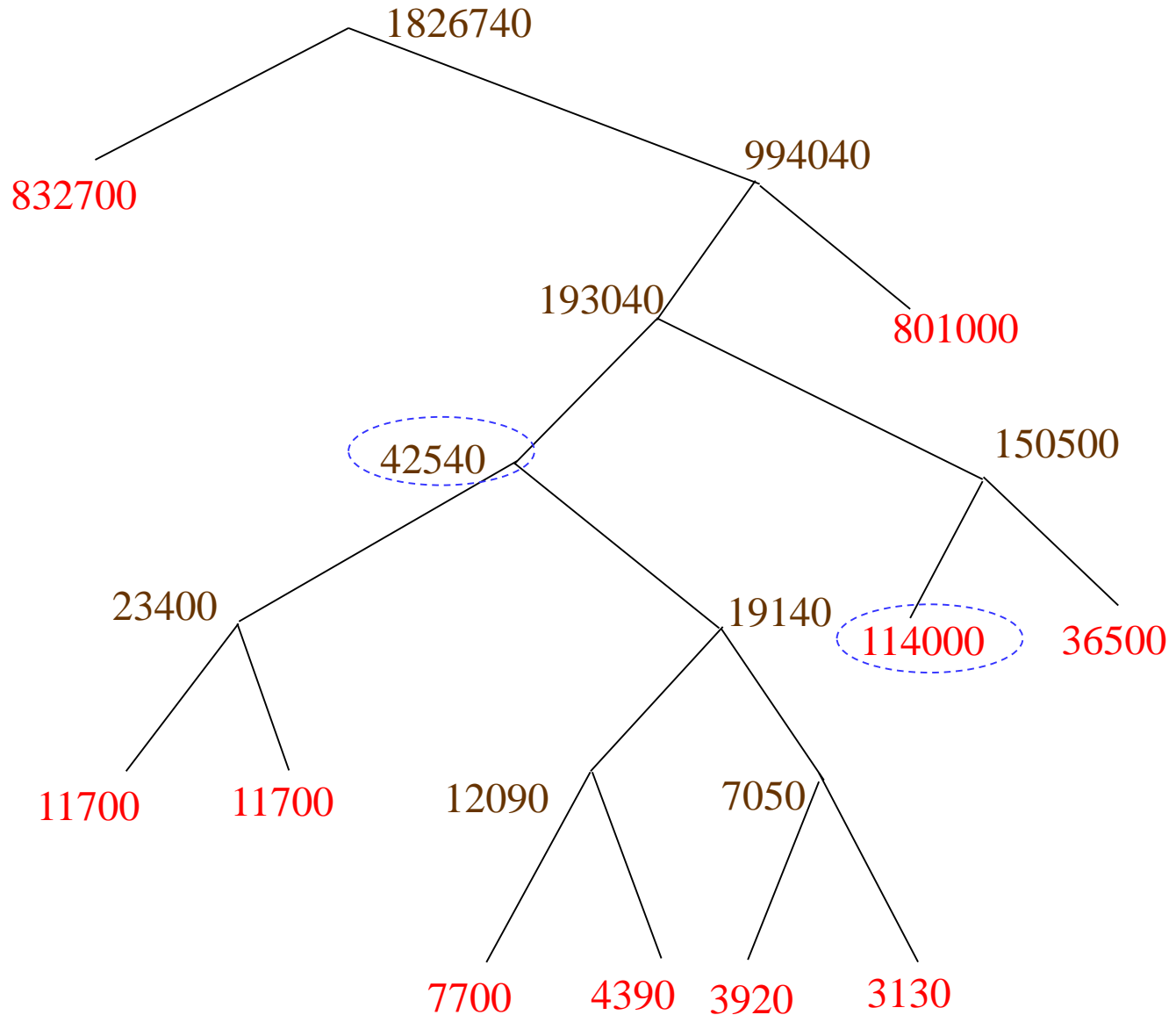
Huffman coding by the greedy algorithm

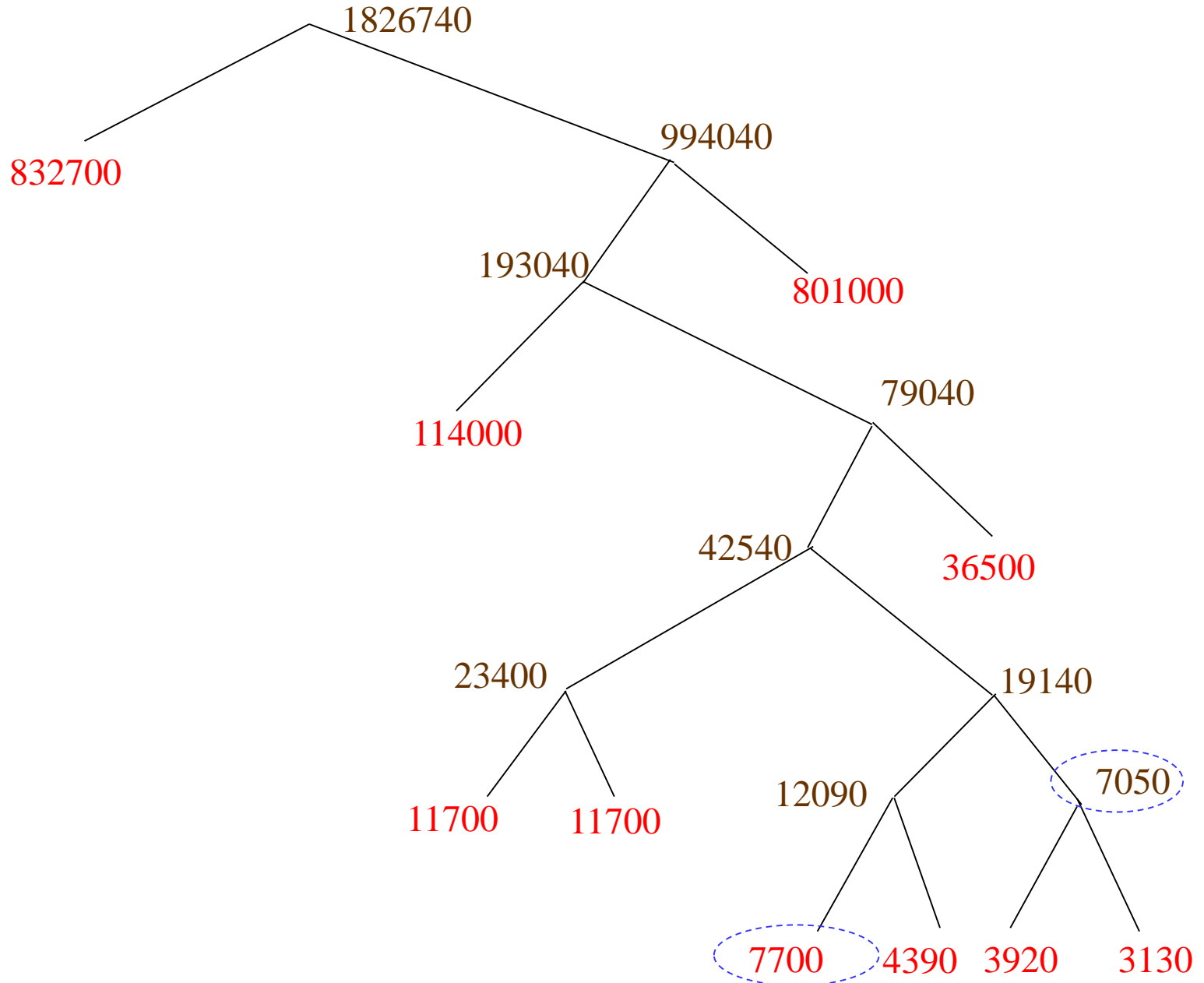
Initial: 用原始的方式編碼



Huffman coding by the greedy algorithm

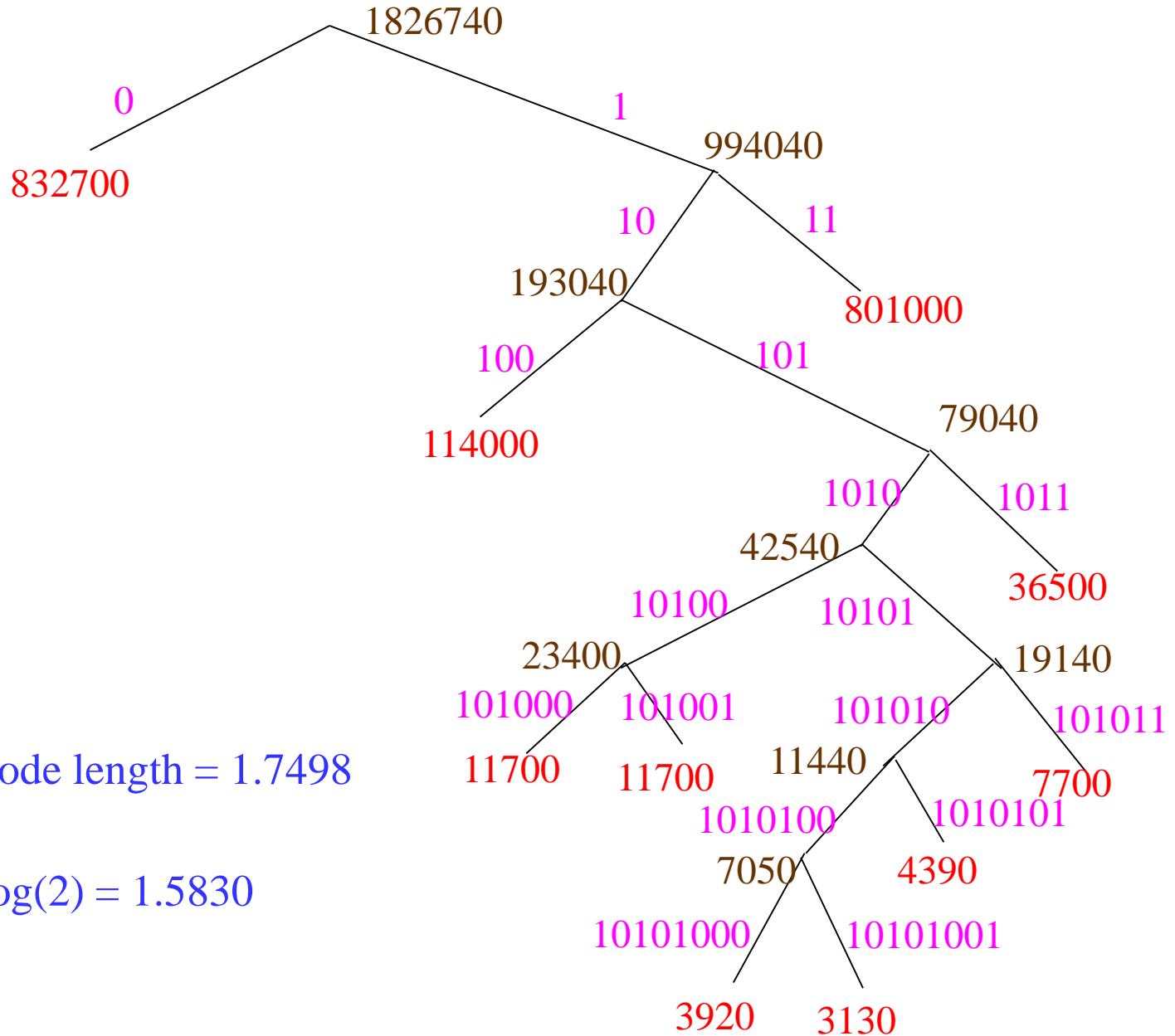






Huffman coding by the greedy algorithm

277



average code length = 1.7498

entropy/log(2) = 1.5830

思考： 郵遞區號是多少進位的編碼？

電話號碼的區域碼是多少進位的編碼？

中文輸入法是多少進位的編碼？

如何用 Huffman coding 來處理類似問題？

◎ 8-D Entropy and Coding Length

- Entropy 熵；亂度 (Information Theory)

註：此處 log 即 \ln
和 \log_{10} 不同

$$entropy = \sum_{j=1}^J P(S_j) \log \frac{1}{P(S_j)}$$

P : probability

$$P(S_0) = 1, \text{ entropy} = 0$$

$$P(S_0) = P(S_1) = 0.5, \text{ entropy} = 0.6931$$

$$P(S_0) = P(S_1) = P(S_2) = P(S_3) = P(S_4) = 1/5, \text{ entropy} = 1.6094$$

$$P(S_0) = P(S_1) = P(S_2) = P(S_3) = 0.1, P(S_4) = 0.6, \text{ entropy} = 1.2275$$

同樣是有 5 種組合，機率分佈越集中，亂度越少

- Huffman Coding 的平均長度

$$mean(L) = \sum_{j=1}^J P(S_j) L(S_j) \quad P(S_j): S_j \text{ 發生的機率}, \quad L(S_j): S_j \text{ 的編碼長度}$$

★ ★ ● Shannon 編碼定理：

$$\frac{entropy}{\log k} \leq mean(L) \leq \frac{entropy}{\log k} + 1 \quad \text{若使用 } k \text{ 進位的編碼}$$

- Huffman Coding 的 total coding length $b = mean(L)N$ N : data length

$$ceil\left(N \frac{entropy}{\log k}\right) \leq b \leq floor\left(N \frac{entropy}{\log k} + N\right)$$

都和 entropy 有密切關係

ceil: 無條件進位, floor: 無條件捨去

Entropy: 估計 coding length 的重要工具

$$N \frac{\text{entropy}}{\log k} \cong \text{bit length}$$

◎ 8-E Arithmetic Coding

- Arithmetic Coding (算術編碼)

Huffman coding 是將每一筆資料分開編碼

Arithmetic coding 則是將多筆資料一起編碼，因此壓縮效率比 Huffman coding 更高，近年來的資料壓縮技術大多使用 arithmetic coding

K. Sayood, *Introduction to Data Compression*, Chapter 4: Arithmetic coding, 3rd ed., Amsterdam, Elsevier, 2006

編碼

若 data X 有 M 個可能的值 ($X[i] = 1, 2, \dots, \text{or } M$)，使用 k 進位的編碼，且

P_n : the probability of $x = n$ (from prediction)

$$S_0 = 0, \quad S_n = \sum_{j=1}^n P_j$$

現在要對 data X 做編碼，假設 $\text{length}(X) = N$

Algorithm for arithmetic encoding

initiation: $lower = S_{X[1]-1}$ $upper = S_{X[1]}$

for $i = 2 : N$

$$lower = lower + S_{X[i]-1} \times (upper - lower)$$

$$upper = lower + S_{X[i]} \times (upper - lower)$$

end

(continue)...

Suppose that

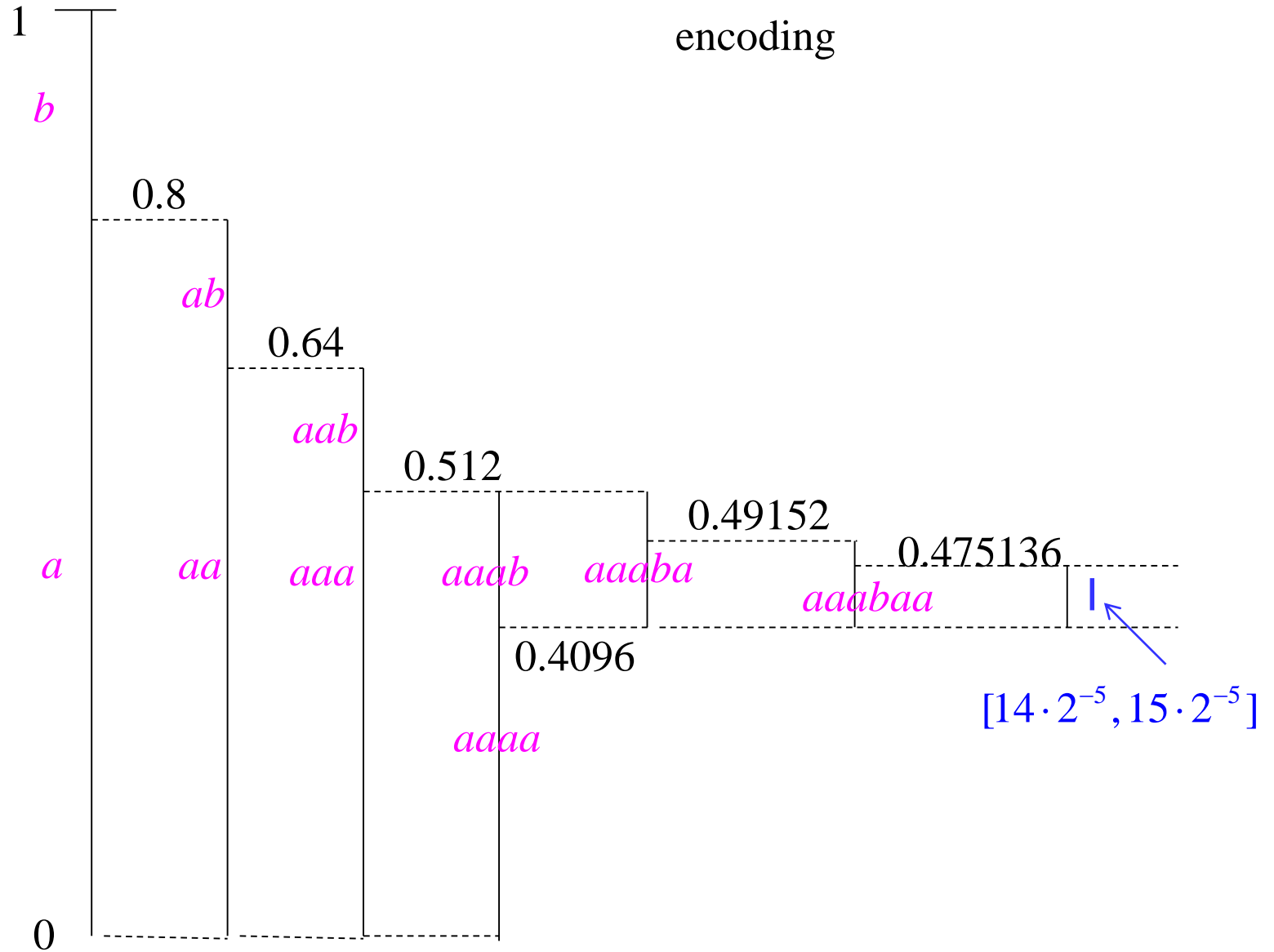
$$lower \leq C \cdot k^{-b} < (C + 1) \cdot k^{-b} \leq upper$$

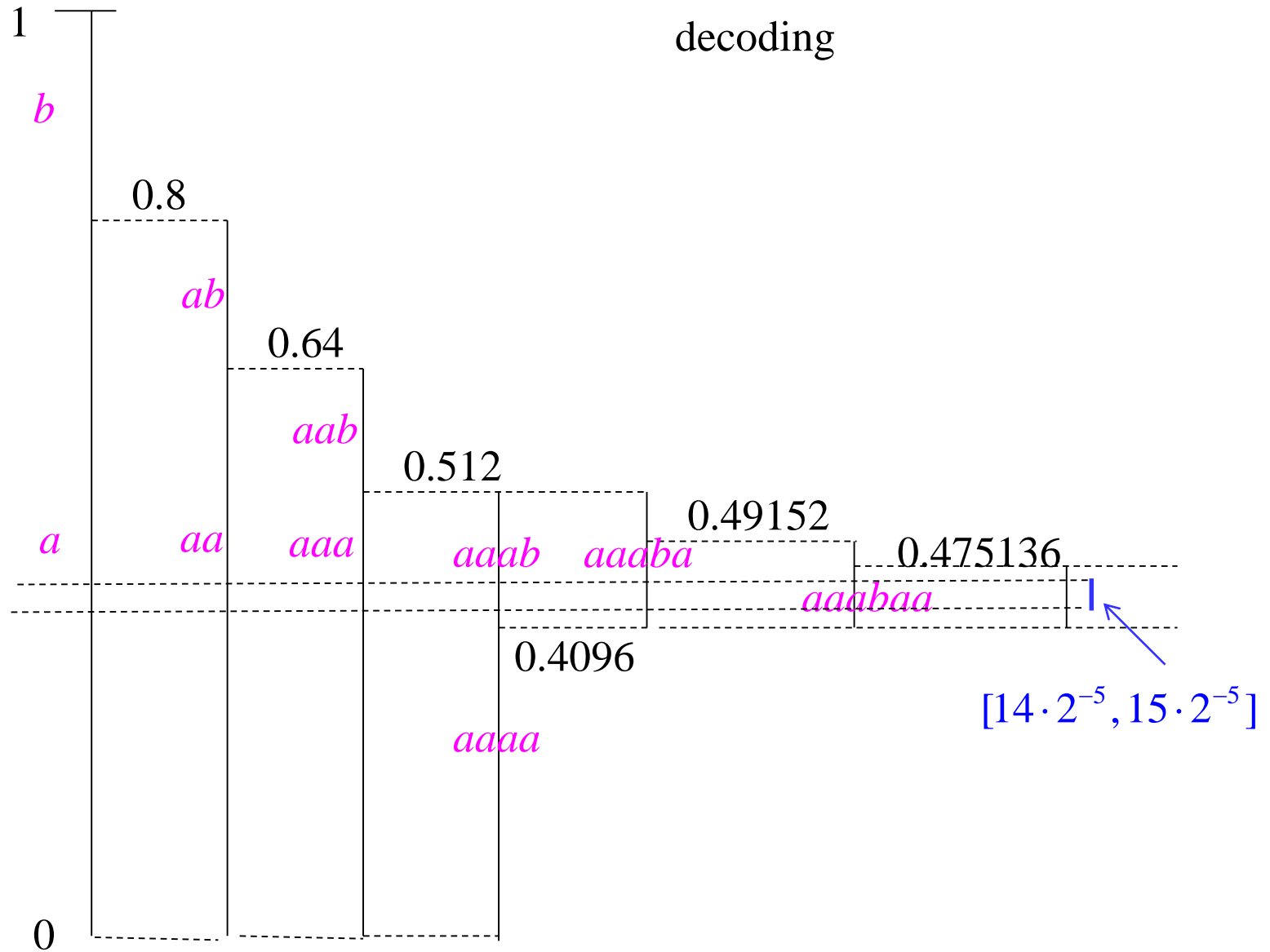
where C and b are integers (b is as small as possible), then the data X can be encoded by

$$C_{(k,b)}$$

where $C_{(k,b)}$ means that using k -ary (k 進位) and b bits to express C .

(註：Arithmetic coding 還有其他不同的方式，以上是使用其中一個較簡單的 range encoding 的方式)






Example:

假設要對 X 來做二進位 ($k = 2$) 的編碼

且經由事先的估計， $X[i] = a$ 的機率為 0.8, $X[i] = b$ 的機率為 0.2


 $P_1 = 0.8, \quad P_2 = 0.2, \quad S_0 = 0, \quad S_1 = 0.8, \quad S_2 = 1$

若實際上輸入的資料為 $X = a a a b a a$

Initiation ($X[1] = a$): $lower = 0, \quad upper = 0.8$

When $i = 2$ ($X[2] = a$): $lower = 0, \quad upper = 0.64$

When $i = 3$ ($X[3] = a$): $lower = 0, \quad upper = 0.512$

When $i = 4$ ($X[4] = b$): $lower = 0.4096, \quad upper = 0.512$

When $i = 5$ ($X[5] = a$): $lower = 0.4096, \quad upper = 0.49152$

When $i = 6$ ($X[6] = a$): $lower = 0.4096, \quad upper = 0.475136$

由於 $lower = 0.4096$, $upper = 0.475136$

$$lower \leq 14 \cdot 2^{-5} < 15 \cdot 2^{-5} \leq upper$$

$$0.4375 \quad 0.46875$$

所以編碼的結果為

$$14_{(2,5)} = 01110$$

2 進位 5 個 bits

其他的假設，和編碼 (see page 283) 相同

Algorithm for arithmetic decoding

lower 1 = 0 *upper* 1 = 1

```
check = 1;
```

if there exists an n such that

$lower + (upper - lower)S_{n-1} \leq lower + 1$ and
 $lower + (upper - lower)S_n \geq upper - 1$ are both satisfied,
 then

```
check = 0;
```

(continue)...


```

else
     $upper\ 1 = lower\ 1 + (Y[j] + 1)k^{-j}$ 
     $lower\ 1 = lower\ 1 + Y[j]k^{-j}$ 
     $j = j + 1$ 
end
end                                     % end of loop 2
 $X(i) = n;$ 
 $lower = lower + (upper - lower)S_{n-1}$ 
 $upper = lower + (upper - lower)S_n$ 
end                                     % end of loop 1

```

Coding Length for Arithmetic Coding

假設 P_n 是預測的 $X[i] = n$ 的機率

Q_n 是實際上的 $X[i] = n$ 的機率

(也就是說，若 $\text{length}(X) = N$, X 當中會有 $Q_n N$ 個 elements 等於 n)

則

$$\text{upper} - \text{lower} = \prod_{m=1}^M P_m^{Q_m N} \quad \prod : \text{連乘符號}$$

另一方面，由於 (from page 284)

$$k^{-b} \leq \text{upper} - \text{lower} < (2k)k^{-b}$$

$$-\log_k (\text{upper} - \text{lower}) \leq b < -\log_k (\text{upper} - \text{lower}) + 1 + \log_k 2$$

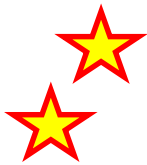
$$\text{ceil} \left(-N \sum_{m=1}^M Q_m \log_k P_m \right) \leq b \leq \text{floor} \left(-N \sum_{m=1}^M Q_m \log_k P_m + \log_k 2 \right) + 1$$

$$\text{ceil}\left(-N \sum_{m=1}^M Q_m \log_k P_m\right) \leq b \leq \text{floor}\left(-N \sum_{m=1}^M Q_m \log_k P_m + \log_k 2\right) + 1$$

在機率的預測完全準確的情形下， $Q_m = P_m$

Total coding length b 的範圍是

$$\text{ceil}\left(-N \sum_{m=1}^M P_m \log_k P_m\right) \leq b \leq \text{floor}\left(-N \sum_{m=1}^M P_m \log_k P_m + \log_k 2\right) + 1$$



$$\text{ceil}\left(N \cdot \frac{\text{entropy}}{\log k}\right) \leq b \leq \text{floor}\left(N \cdot \frac{\text{entropy}}{\log k} + \log_k 2 + 1\right)$$

Arithmetic coding 的 total coding length 的上限比 Huffman coding 更低

◎ 8-F MPEG

MPEG：動態影像編碼的國際標準 全名：Moving Picture Experts Group

MPEG standard： <http://www.iso.org/iso/prods-services/popstds/mpeg.html>

MPEG 官方網站： <http://mpeg.chiariglione.org/>

人類的視覺暫留：1/24 second

一個動態影像，每秒有 30個或 60個畫格 (frames)



例子：

Pepsi 的廣告

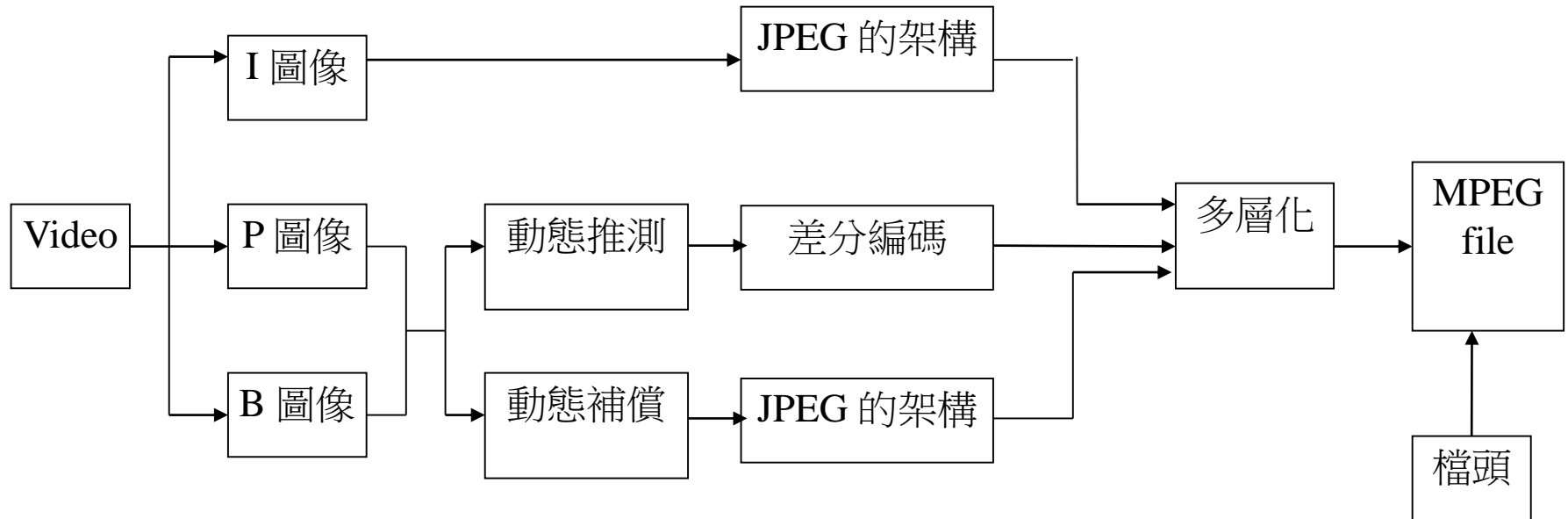
Size: 160×120 Time: 29 sec 一秒 30 個 frames

若不作壓縮： $160 \times 120 \times 29 \times 30 \times 3 = 50112000 = 47.79 \text{ M bytes}$ 。

經過 MPEG 壓縮： $1140740 = 1.09 \text{ M bytes}$ 。

只有原來的 2.276%。

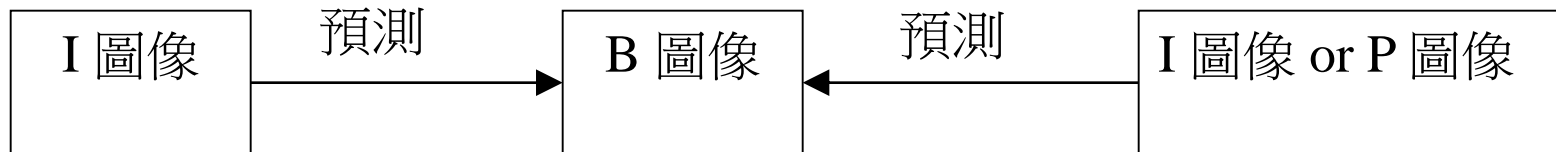
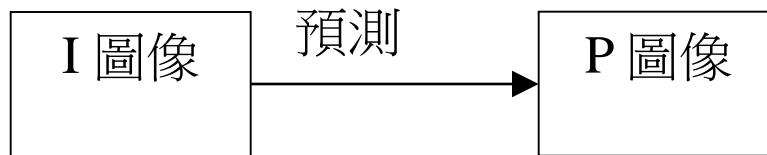
• Flowchart of MPEG Compression



I 圖像 (Intra-coded picture): 作為參考的畫格

P 圖像 (Predictive-coded picture): 由之前的畫格來做預測

B 圖像 (Bi-directionally predictive-coded picture): 由之前及之後的畫格來做預測

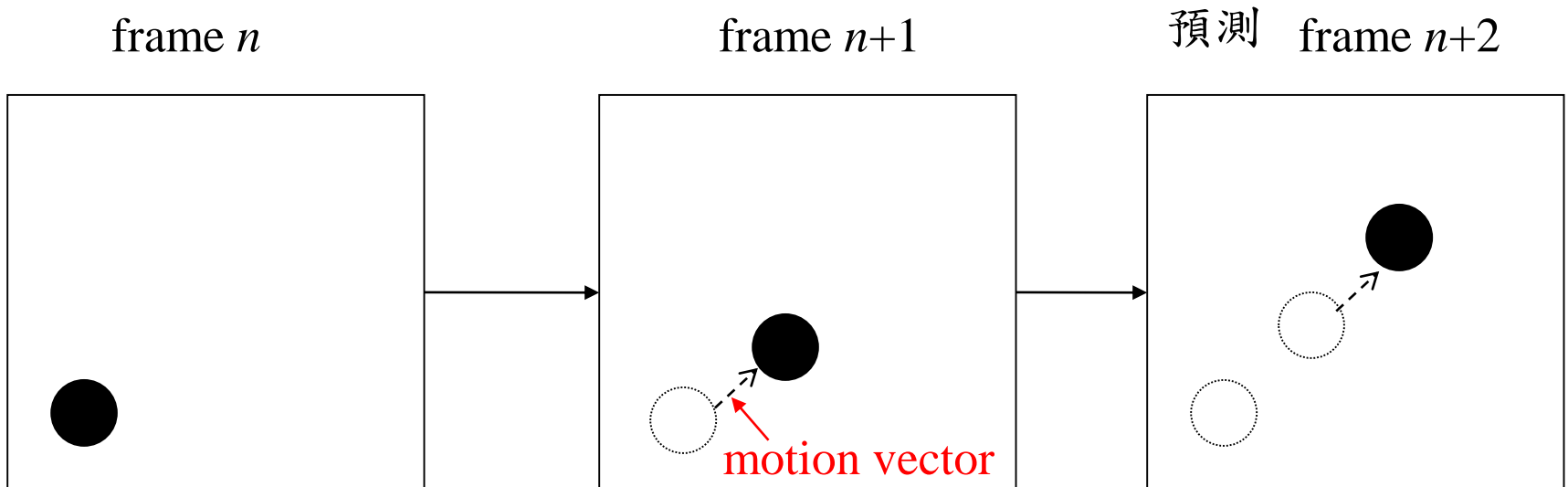


- 動態影像之編碼

原理：不同時間，同一個 pixel 之間的相關度通常極高
只需對有移動的 objects 記錄 “motion vector”

- 動態補償 (Motion Compensation)

時間相近的影像，彼此間的相關度極高



$F[m, n, t]$: 時間為 t 的影像

如何由 $F[m, n, t]$, $F[m, n, t+\Delta]$ 來預測 $F[m, n, t+2\Delta]$?

(1) 移動向量 $V_x(m, n), V_y(m, n)$

(2) 預測 $F[m, n, t+2\Delta]$:

$$F_p[m, n, t+2\Delta] = F[m - V_x(m, n), n - V_y(m, n), t+\Delta]$$

(3) 計算「預測誤差」

$$E[m, n, t+2\Delta] = F[m, n, t+2\Delta] - F_p[m, n, t+2\Delta]$$

對預測誤差 $E[m, n, t+2\Delta]$ 做編碼

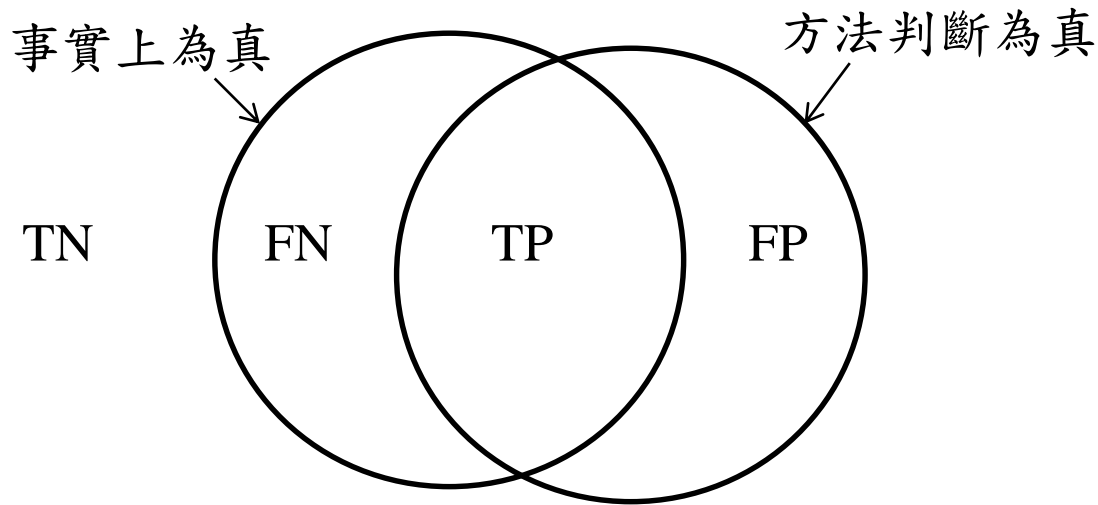
◎ 8-G Data Compression 未來發展的方向

Two important issues:

Q1: How to further improve the compression rate

Q2: How to develop a compression algorithm whose compression rate is acceptable and the buffer size / hardware cost is limited

附錄八：量測方法的精確度常用的指標



TP (true positive): 事實上為真，而且被我們的方法判斷為真的情形

FN (false negative): 事實上為真，卻未我們的方法被判斷為真的情形

FP (false positive): 事實上不為真，卻被我們的方法誤判為真的情形

TN (true negative): 事實上不為真，而且被我們的方法判斷成不為真的情形

$$precision = \frac{TP}{TP + FP} = +P \text{ (positive prediction rate)}$$

$$recall = \frac{TP}{TP + FN}$$

$$specificity = \frac{TN}{TN + FP}$$

$$sensitivity = \frac{TP}{TP + FN} = recall$$

以抓犯人為例，TP 是有罪而且被抓到的情形，FP是無罪但被誤抓的情形，FN 是有罪但沒被抓到的情形，TN 是無罪且未被誤逮的情形

寧可錯抓一百，也不可放過一個

————→ recall 高，但 precision 低

寧可錯放一百，也不可冤枉一個

————→ precision 高，但 recall 低

$$\text{Accuracy} \quad \frac{TP + TN}{TP + FP + TN + FN}$$

$$\text{Detection error rate} \quad \frac{FP + FN}{TP + FN}$$

$$\text{F-score} \quad 2 \frac{\textit{precision} \times \textit{recall}}{\textit{precision} + \textit{recall}}$$

$$\text{General form of the F-score} \quad \frac{(1 + \beta^2) \textit{precision} \times \textit{recall}}{\beta^2 \textit{precision} + \textit{recall}}$$

附錄九：新的相似度測量工具：結構相似度 Structural Similarity (SSIM)

傳統量測兩個信號 (including images, videos, and vocal signals) 之間相似度的方式：

(1) maximal error $Max(|y[m,n] - x[m,n]|)$

(2) mean square error (MSE) $\frac{1}{MN} \sum_{m=0}^{M-1} \sum_{n=0}^{N-1} |y[m,n] - x[m,n]|^2$

(3) normalized mean square error (NMSE) $\frac{\sum_{m=0}^{M-1} \sum_{n=0}^{N-1} |y[m,n] - x[m,n]|^2}{\sum_{m=0}^{M-1} \sum_{n=0}^{N-1} |x[m,n]|^2}$

(4) normalized root mean square error (NRMSE) $\sqrt{\frac{\sum_{m=0}^{M-1} \sum_{n=0}^{N-1} |y[m,n] - x[m,n]|^2}{\sum_{m=0}^{M-1} \sum_{n=0}^{N-1} |x[m,n]|^2}}$

(5) L_α -Norm

$$\|y - x\|_\alpha = \left(\sum_{m=0}^{M-1} \sum_{n=0}^{N-1} |y[m, n] - x[m, n]|^\alpha \right)^{1/\alpha}$$

$$\frac{1}{MN} \|y - x\|_\alpha = \frac{1}{MN} \left(\sum_{m=0}^{M-1} \sum_{n=0}^{N-1} |y[m, n] - x[m, n]|^\alpha \right)^{1/\alpha}$$

(6) signal to noise ratio (SNR)，信號處理常用

$$10 \log_{10} \left(\frac{\sum_{m=0}^{M-1} \sum_{n=0}^{N-1} |x[m, n]|^2}{\sum_{m=0}^{M-1} \sum_{n=0}^{N-1} |y[m, n] - x[m, n]|^2} \right)$$

(7) peak signal to noise ratio (PSNR)，影像處理常用

$$10\log_{10}\left(\frac{X_{Max}^2}{\frac{1}{MN}\sum_{m=0}^{M-1}\sum_{n=0}^{N-1}|y[m,n]-x[m,n]|^2}\right)$$

X_{Max} : the maximal possible value of $x[m, n]$

In image processing, $X_{Max} = 255$

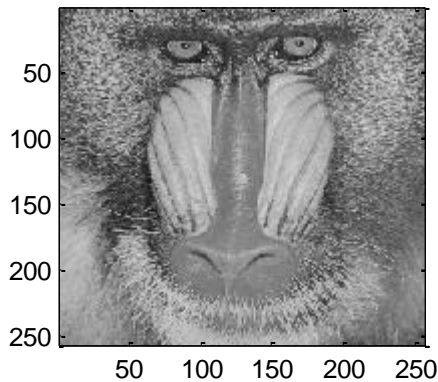
for color image:

$$10\log_{10}\left(\frac{X_{Max}^2}{\frac{1}{3MN}\sum_{R,G,B}\sum_{m=0}^{M-1}\sum_{n=0}^{N-1}|y_{color}[m,n]-x_{color}[m,n]|^2}\right)$$

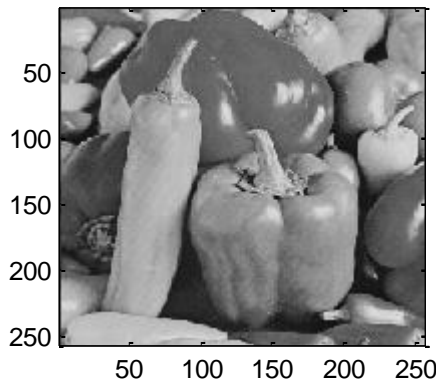
color = R , G , or B

然而，MSE 和 NRMSE 雖然在理論上是合理的，但卻無法反應出實際上兩個信號之間的相似度

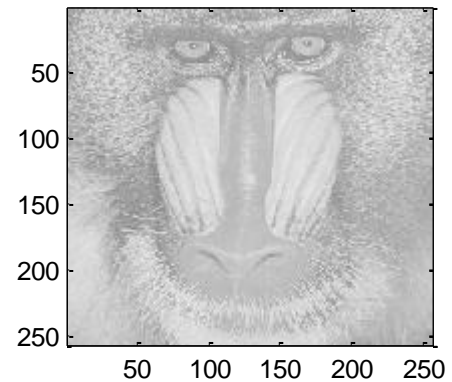
例如：以下這張圖



圖一



圖二



圖三

$$\text{圖三} = \text{圖一} \times 0.5 + 255.5 \times 0.5$$

照理來說，圖一和圖三較相近

然而，圖一和圖二之間的 NRMSE 為 0.4411

圖一和圖三之間的 NRMSE 為 0.4460

(8) Structural Similarity (SSIM)

有鑑於 MSE 和 PSNR 無法完全反應人類視覺上所感受的誤差，在 2004 年被提出來的新的誤差測量方法

$$SSIM(x, y) = \frac{(2\mu_x\mu_y + (c_1L)^2)}{(\mu_x^2 + \mu_y^2 + (c_1L)^2)} \frac{(2\sigma_{xy} + (c_2L)^2)}{(\sigma_x^2 + \sigma_y^2 + (c_2L)^2)}$$

$$DSSIM(x, y) = 1 - SSIM(x, y)$$

μ_x, μ_y : means of x and y σ_x^2, σ_y^2 : variances of x and y

σ_{xy} : covariance of x and y c_1, c_2 : adjustable constants

L : the maximal possible value of x – the minimal possible value of x

Z. Wang, A. C. Bovik, H. R. Sheikh, and E. P. Simoncelli, “Image quality assessment: from error visibility to structural similarity,” *IEEE Trans. Image Processing*, vol. 13, no. 4, pp. 600–612, Apr. 2004.

若使用 SSIM，且前頁的 c_1, c_2 皆選為 1

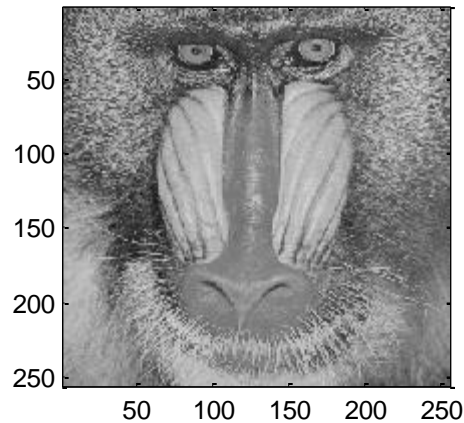
圖一、圖二之間的 SSIM 為 0.1040

圖一、圖三之間的 SSIM 為 0.7720

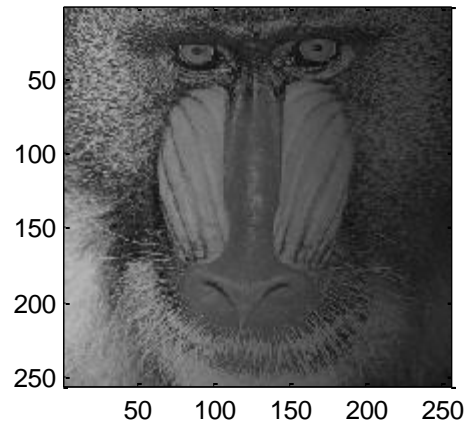
反應出了圖一、圖三之間確實有很高的相似度

其他幾個用 MSE 和 NRMSE 無法看出相似度，但是可以用 SSIM 看出相似度的情形

影子 shadow



圖四

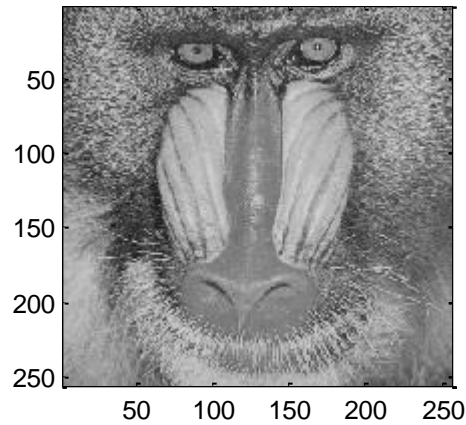


圖五

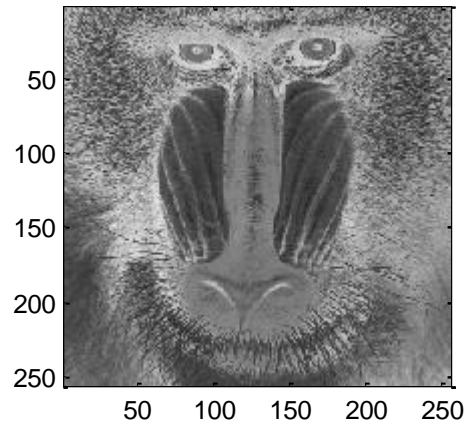
$\text{NRMSE} = 0.4521$ (大於圖一、圖二之間的 NRMSE)

$\text{SSIM} = 0.6010$

底片 the negative of a photo



圖六



圖七

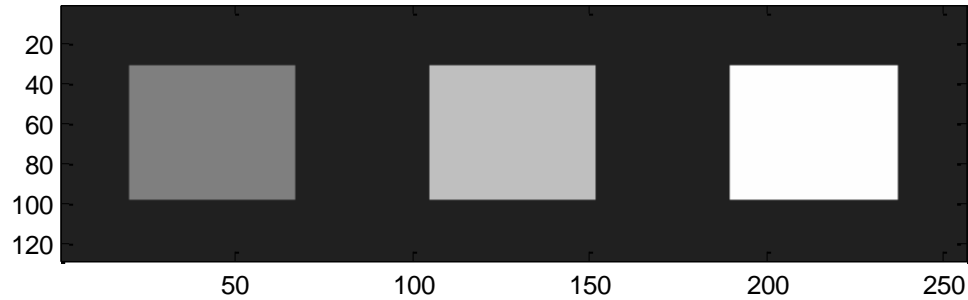
$$\text{圖七} = 255 - \text{圖六}$$

$\text{NRMSE} = 0.5616$ (大於圖一、圖二之間的 NRMSE)

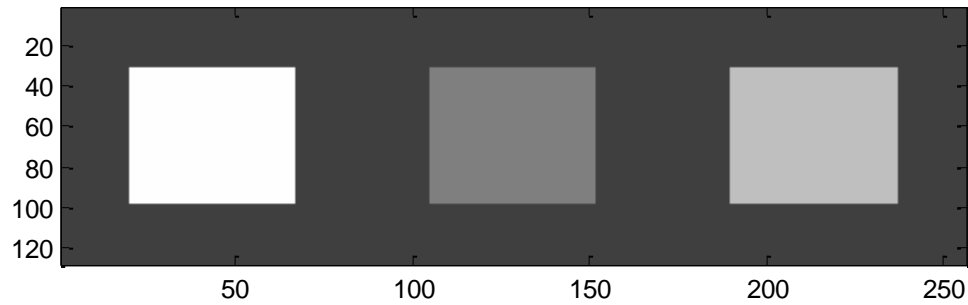
$\text{SSIM} = -0.8367$ (高度負相關)

同形，但亮度不同 (Same shape but different intensity)

圖八



圖九



$\text{NRMSE} = 0.4978$ (大於圖一、圖二之間的 NRMSE)

$\text{SSIM} = 0.7333$

思考：對於 vocal signal (聲音信號而言)

MSE 和 NRMSE 是否真的能反應出兩個信號的相似度？

為什麼？